

УДК 621.3

*Ю.А. Абрамов, д-р техн. наук, профессор, профессор кафедры  
пожарной и технологической автоматики УГЗУ,  
А.Е. Басманов, канд. техн. наук, докторант УГЗУ*

## **МОДЕЛИРОВАНИЕ НАГРЕВА СУХОЙ СТЕНКИ ГОРЯЩЕГО РЕЗЕРВУАРА С НЕФТЕПРОДУКТОМ**

Предложена математическая модель для расчета температуры сухой стенки горящего резервуара. Модель предназначена для расчета теплового излучения от горящего резервуара и оценки времени огнестойкости сухой стенки при отсутствии охлаждения.

**Постановка проблемы.** Нагрев сухой стенки горящего резервуара с нефтепродуктом приводит, во-первых, к тому, что она сама становится источником теплового излучения для окружающих объектов, а, во-вторых, к потере ею прочности и деформации. В результате деформации образуются изолированные зоны горения, подача пены в которые существенно затруднена. Поэтому динамика изменения температуры сухой стенки важна как для расчета теплового излучения от горящего резервуара, так и для оценки времени ее деформации.

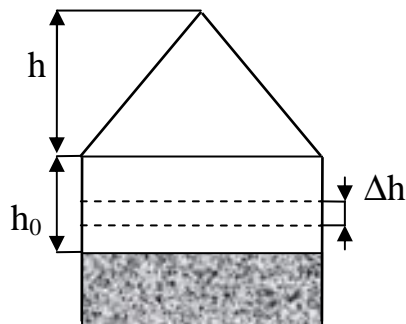
**Анализ публикаций.** В работе [2] построена математическая модель нагрева сухой стенки и крыши негорящего резервуара под действием излучения пожара. В [3, 4] рассмотрен прогрев нефтепродукта в горящем резервуаре в глубину. Но нагрев сухой стенки при этом не рассматривается.

**Постановка задачи и ее решение.** Найдем распределение температур по сухой стенке резервуара. При этом будем исходить из следующих предположений.

1. Передача тепла от факела к жидкости и стенкам происходит только излучением.
2. Температура поверхности нефтепродукта равна температуре ее кипения.
3. Сухая стенка резервуара участвует в теплообмене излучением (с факелом, поверхностью нефтепродукта, окружающей средой) и конвективным (с окружающим воздухом, газовым пространством).
4. Температура газового пространства резервуара равна температуре кипения нефтепродукта.
5. Теплопроводность стенки не влияет на распределение температуры в ней.

Предположение 1 основано на том, что разогретые продукты горения и воздух поднимаются вверх от зоны горения, не оказывая существенного воздействия на стальные конструкции резервуара. Это подтверждают экспериментальные исследования [4]. Допущение 2 связано с экспериментальным изучением распределения температуры в горящем нефтепродукте [3, 4]. Поднимающиеся с поверхности нефтепродукта пары имеют ту же температуру, что и сама поверхность. Поднимаясь в зону горения, они не успевают нагреться: это подтверждается исследованием распределения температур внутри пламени [4]. На этом и основывается предположение 4. Пятое допущение опирается на опытный факт [3], говорящий о том, что области стенки резервуара, отстоящие друг от друга на 30 см, являются практически теплоизолированными.

Под действием теплового потока от факела испаряющиеся с поверхности пары нефтепродукта поднимаются в зону горения. При этом горение будет происходить только над резервуаром, в самом резервуаре горение не происходит, ввиду отсутствия доступа туда кислорода. Пусть  $R$  – радиус резервуара,  $h$  – высота факела над резервуаром,  $h_0$  – высота сухой стенки (рис. 1).



**Рисунок 1 – Факел над горящим неполным резервуаром с нефтепродуктом**

Для того чтобы учесть возможный неравномерный нагрев сухой стенки, разобьем ее на  $n$  равных колец высотой  $\Delta h$  (рис. 1). Занумеруем их так, чтобы нижнее кольцо имело номер 1, а верхнее –  $n$ . Количество тепла  $dQ_k$ , получаемое каждой из таких областей за промежуток времени  $dt$ , может быть представлено в виде:

$$dQ_k = \epsilon_c c_0 \left[ \epsilon_\phi H_k^+ \left( \left( \frac{T_\phi}{100} \right)^4 - \left( \frac{T_k}{100} \right)^4 \right) + \epsilon_c \sum_{i \neq k} H_{ik} \left( \left( \frac{T_i}{100} \right)^4 - \left( \frac{T_k}{100} \right)^4 \right) + \left( \left( \frac{T_0}{100} \right)^4 - \left( \frac{T_k}{100} \right)^4 \right) S + \epsilon_H H_k^- \left( \left( \frac{T_{кип}}{100} \right)^4 - \left( \frac{T_k}{100} \right)^4 \right) \right] dt +$$

$$+ \alpha_{\Gamma} (T_{\text{кип}} - T_k) S dt + \alpha_{\text{в}} (T_0 - T_k) S dt, \quad k = 1, 2, \dots, n, \quad (1)$$

где  $\epsilon_{\text{ф}}$ ,  $\epsilon_{\text{с}}$ ,  $\epsilon_{\text{н}}$  – степени черноты факела, стальной стенки, нефтепродукта;  $T_{\text{ф}}$ ,  $T_k$ ,  $T_0$  – температуры факела, области  $k$  стенки, окружающей среды;  $T_{\text{кип}}$  – температура кипения нефтепродукта;  $S = 2\pi R \Delta h$  – площадь поверхности области разбиения;  $H_k^+$ ,  $H_k^-$  – площади взаимного облучения между областью  $k$  стенки резервуара и факелом или поверхностью нефтепродукта соответственно;  $H_{ki}$  – площади взаимного облучения между областями  $i$  и  $k$  стенки резервуара.

Первое слагаемое в уравнении (1) соответствует лучистому теплообмену стенки с факелом, второе – лучистому теплообмену между различными частями, третье – лучистому теплообмену стенки с окружающей средой; четвертое – лучистому теплообмену стенки с нефтепродуктом; пятое и шестое – конвективному теплообмену с газовым пространством резервуара и окружающим воздухом. При этом коэффициенты конвективного теплообмена  $\alpha_{\Gamma}$  и  $\alpha_{\text{в}}$  вычисляются с использованием теории подобия [1].

Учтем, что  $dQ_k = S \delta \rho_c c_c dT$ , где  $\delta$ ,  $\rho_c$ ,  $c_c$  – толщина, плотность, теплоемкость стальной стенки резервуара. Тогда система дифференциальных уравнений, описывающих температуру сухой стенки горящего резервуара, примет вид:

$$\begin{aligned} \frac{dT_k}{dt} = \frac{\epsilon_c c_0}{S \delta \rho_c c_c} & \left[ \epsilon_{\text{ф}} H_k^+ \left( \left( \frac{T_{\text{ф}}}{100} \right)^4 - \left( \frac{T_k}{100} \right)^4 \right) + \epsilon_c \sum_{i \neq k} H_{ik} \left( \left( \frac{T_i}{100} \right)^4 - \left( \frac{T_k}{100} \right)^4 \right) + \right. \\ & \left. + \left( \left( \frac{T_0}{100} \right)^4 - \left( \frac{T_k}{100} \right)^4 \right) S + \epsilon_{\text{н}} H_k^- \left( \left( \frac{T_{\text{кип}}}{100} \right)^4 - \left( \frac{T_k}{100} \right)^4 \right) \right] + \\ & + \frac{\alpha_{\Gamma} (T_{\text{кип}} - T_k) + \alpha_{\text{в}} (T_0 - T_k)}{\delta \rho_c c_c}, \quad k = 1, 2, \dots, n. \quad (2) \end{aligned}$$

Вычислим площади взаимного облучения, входящие в (2):

$$\begin{aligned} H_{ik} = \frac{2R^4}{\pi} \int_0^{2\pi} (2\pi - t) (1 - \cos t)^2 dt \int_0^{\Delta h} (\Delta h - x) \times \\ \times \left( \frac{1}{[2R^2(1 - \cos t) + (x + h_1 - h_2)^2]^2} + \frac{1}{[2R^2(1 - \cos t) + (x - h_1 + h_2)^2]^2} \right) dx, \end{aligned}$$

где  $h_1 = (i - 1)\Delta h$ ,  $h_2 = (k - 1)\Delta h$ . Интегрируя по  $x$ , получим

$$H_{ik} = \frac{2R}{\pi} \int_0^\pi t \sin t (F(a(t), b) + F(a(t), -b)) dt, \quad i, k = 1, 2, \dots, n, \quad (3)$$

где  $F(a, b) = (\Delta h + b) \arctg\left(\frac{\Delta h + b}{a}\right) - b \arctg\frac{b}{a}$ ,  $a(t) = 2R \sin t$ ,  $b = h_1 - h_2$ .

Таким образом, площади взаимного облучения между областями сухой стенки могут быть найдены по формуле (3), позволяющей перейти от четырехкратного интеграла общего вида к однократному интегралу. Площади взаимного облучения области  $k$  с факелом  $H_k^+$  и нефтепродуктом  $H_k^-$  могут быть найдены через площади  $H_{ik}$ . Площадь взаимного облучения между внутренней поверхностью кольца и одним из его оснований:

$$H_{\text{осн}} = (2\pi R \Delta h - H_{kk})/2.$$

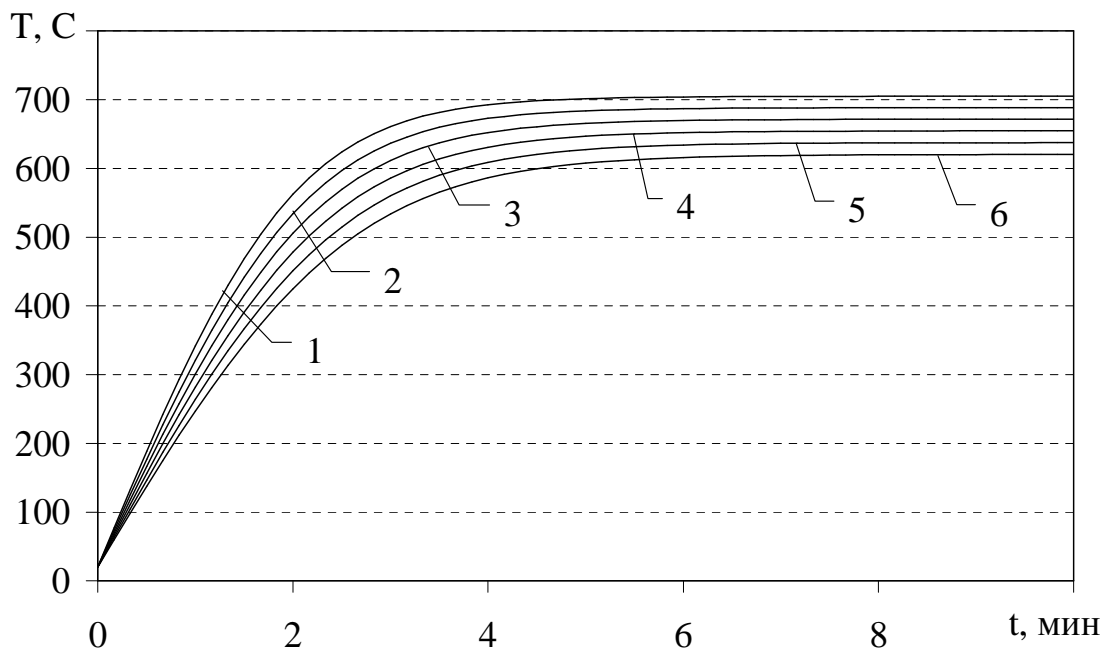
где  $H_{\text{осн}}$  – площадь взаимного облучения между внутренней поверхностью кольца и его верхним (или нижним) основанием. Тогда

$$H_k^+ = (2\pi R \Delta h - H_{kk})/2 - \sum_{i=k+1}^n H_{ik}, \quad (4)$$

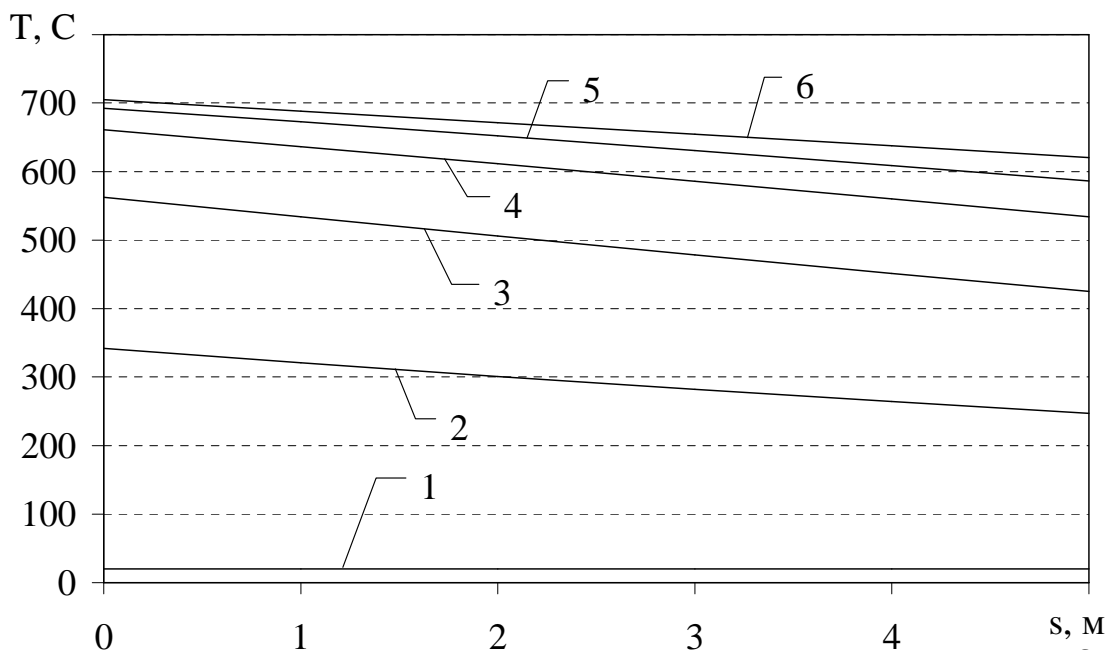
$$H_k^- = (2\pi R \Delta h - H_{kk})/2 - \sum_{i=1}^{k-1} H_{ik}. \quad (5)$$

Решая систему уравнений (2) с коэффициентами (3)-(5) и начальным условием  $T_k(0) = T_0$  каким-либо из численных методов, получим распределение температур по стенке резервуара в произвольный момент времени.

В качестве примера на рисунке 2 приведено изменение температуры сухой стенки горящего резервуара РВС-10000 (диаметр 28,5 м, высота 18 м) с уровнем залива бензина 12 метров. Из рисунка видно, что температура достигает своего максимума в течение 3-4 минут после начала горения. По мере удаления от края и приближению к нефтепродукту температура сухой стенки падает, что объясняется меньшим тепловым потоком, приходящимся на нее. При этом распределение температуры по высоте стенки близко к линейному (рис. 3).



**Рисунок 2 – Изменение температуры сухой стенки горящего резервуара с течением времени в точках с различными расстояниями  $s$  от края стенки: 1 –  $s = 0$ ; 2 –  $s = 1$  м; 3 –  $s = 2$  м; 4 –  $s = 3$  м; 5 –  $s = 4$  м; 6 –  $s = 5$  м**



**Рисунок 3 – Распределение температуры по сухой стенке горящего резервуара в зависимости от расстояния  $s$  до края стенки в различные моменты времени: 1 –  $t = 0$ ; 2 –  $t = 1$  мин; 3 – 2 мин; 4 –  $t = 3$  мин; 5 –  $t = 4$  мин; 6 –  $t = 10$  мин**

**Выводы.** Построена математическая модель нагрева сухой стенки горящего резервуара с нефтепродуктом. Особенностью модели

является учет лучистого и конвективного теплообмена. Модель позволяет найти распределение температур по высоте стенки в произвольный момент времени. Модель может быть использована для расчета теплового потока от горящего резервуара и для оценки времени огнестойкости сухой стенки.

Перспективы дальнейших исследований связаны с оценкой влияния сухой стенки на высоту факела над резервуаром.

## ЛИТЕРАТУРА

1. Абрамов Ю.А., Басманов А.Е. Оценка коэффициента конвективной теплоотдачи резервуара с нефтепродуктом // Науковий вісник будівництва. Збірник наукових праць. – Харків: ХДТУБА, 2005, вип. 31. – С. 206-210.

2. Абрамов Ю.А., Басманов А.Е. Тепловые процессы в нагреваемом резервуаре // Коммунальное хозяйство городов. Научно-технический сборник. – Киев: Техника, 2006, вып. 67. – С. 357-362.

3. Волков О.М. Пожарная безопасность резервуаров с нефтепродуктами. – М.: Недра, 1984. – 151 с.

4. Драйздейл Д. Введение в динамику пожаров. – М.: Стройиздат, 1990. – 420 с.